

کاربرد آنالیز طیفی در چینه‌نگاری سکانسی و تعیین چرخه‌های میلانکوویج در سازند سروک در میدان کوبال

فروغ عباساقی^۱، اسدالله محبوبی^{۲*}، سیدرضا موسوی‌حرمی^۱ و شهرام آورجانی^۲

۱ گروه زمین‌شناسی، دانشکده علوم پایه، دانشگاه فردوسی مشهد

۲ شرکت ملی مناطق نفت خیز جنوب، اداره عملیات زمین‌شناسی

mahboubi@um.ac.ir تویسته مسئول

دریافت: ۹۴/۲/۳۱ پذیرش: ۹۵/۱/۳۱

چکیده

سازند سروک (آلبین تا تورونین) یکی از واحدهای کربناته در جنوب‌غرب ایران است که در حاشیه نوتیس نهشته شده است. هدف از این مطالعه آنالیز چینه‌نگاری سکانسی و شناسایی چرخه‌های میلانکوویج این سازند در چاههای شماره ۲۰ و ۴۸ میدان کوبال به روش آنالیز طیفی MESA و با استفاده از ترم‌افزار سیکلولوگ و لامگ گاما است. مطالعه ۲۵۰ نمونه میکروسکوپی منجر به شناسایی ۹ میکروفاصلی شد که در سه محیط رسوبی دریای باز، سد و لagon بر جای گذاشته شده‌اند.علاوه بر این دو سکانس رسوبی رده سوم (بر اساس تغییرات رخساره‌ای و نیز تغییرات منحنی‌های PEFA و INPEFA) نیز شناسایی شده است. بررسی چرخه‌های میلانکوویج با استفاده از دو روش تعیین فواصل بین پیک‌های گاما و آنالیز MESA نشان داد که غالب آن‌ها از چرخه‌های ۱۰۰ هزار ساله تشکیل شده‌اند. سن‌سنجی مداری با توجه به شمارش این چرخه‌ها نشان داد که این بخش از سازند که مورده حفاری قرار گرفته سنی معادل ۱۱ تا ۱۲ میلیون سال دارد.

واژه‌های کلیدی: سازند سروک، گاما، چینه‌نگاری سکانسی، چرخه‌های میلانکوویج

است که جهت انتساب زون‌های مخزنی و سطوح سکانسی دقت بالایی دارند [۱۶ و ۱۲]. در واقع نمودار گاما را می‌توان به صورت یک موج مرکب شامل تعداد زیادی موجک فرض کرد که یا به کارگیری نمودارهایی نظریه چرخه‌های MESA^۱، PEFA^۲ و INPEFA^۳ از آن جهت شناسایی چرخه‌های میلانکوویج استفاده کرد [۱۵ و ۱۶]. این موجک‌ها در حقیقت همان آثار چرخه‌های میلانکوویج هستند که به همراه یکسری امواج مزاحم^۴ نمودارهای الکتریکی را می‌سازند. بنابراین برای بررسی این چرخه‌ها باید این امواج مرکب به اجزای تشکیل‌دهنده خود تجزیه شوند که برای این منظور می‌توان از ترم‌افزار سیکلولوگ استفاده کرد [۱۷].

هدف از این مطالعه استفاده از آنالیز طیفی MESA در شناسایی چرخه‌های میلانکوویج و تفسیر چینه‌نگاری سکانسی سازند سروک در چاههای شماره ۴۸ و ۲۰ میدان نفتی کوبال است.

مقدمه

مطالعات چینه‌نگاری چرخه‌ای^۱ نهان می‌دهد که تأثیر سیکل‌های میلانکوویج در توالی‌های محیط‌های رسوبی مختلف عمیق تا کم عمق قابل شناسایی است [۲۳]. این سیکل‌ها معمولاً به کمک تغییرات سنگ‌شناسی، لایه‌بندی، رخساره‌ای، فسیلی، هُئوژنیکی، رسوب‌های آماری و نیز نمودارهای پتروفیزیکی شناسایی می‌شوند. علاوه بر این رسوب‌های آماری می‌توانند با دقت بالایی ترخ رسوب‌گذاری را مشخص کنند [۱۸]. یکی از این رسوب‌های آماری به کارگیری آنالیز طیفی MESA^۲ با استفاده از لامگ‌های پتروفیزیکی و به خصوص لامگ گاما است، چرا که این لامگ تغییرات رخساره‌ای و تغییرات سطح آب را بهتر نشان می‌دهد [۱۴، ۱۲ و ۱۱]. در مطالعات چینه‌نگاری سکانسی در چاههای نفتی به دلیل تبود مغزه و یا کیفیت پایین خرده‌های حفاری و فاصله زیاد نمونه‌برداری با مشکلاتی همراه است. بنابراین در اینجا نیز بهترین ابزار استفاده از نمودارهای الکتریکی

¹Prediction Error Filter Analysis

²Integrated Prediction Error Filter Analysis

³noise

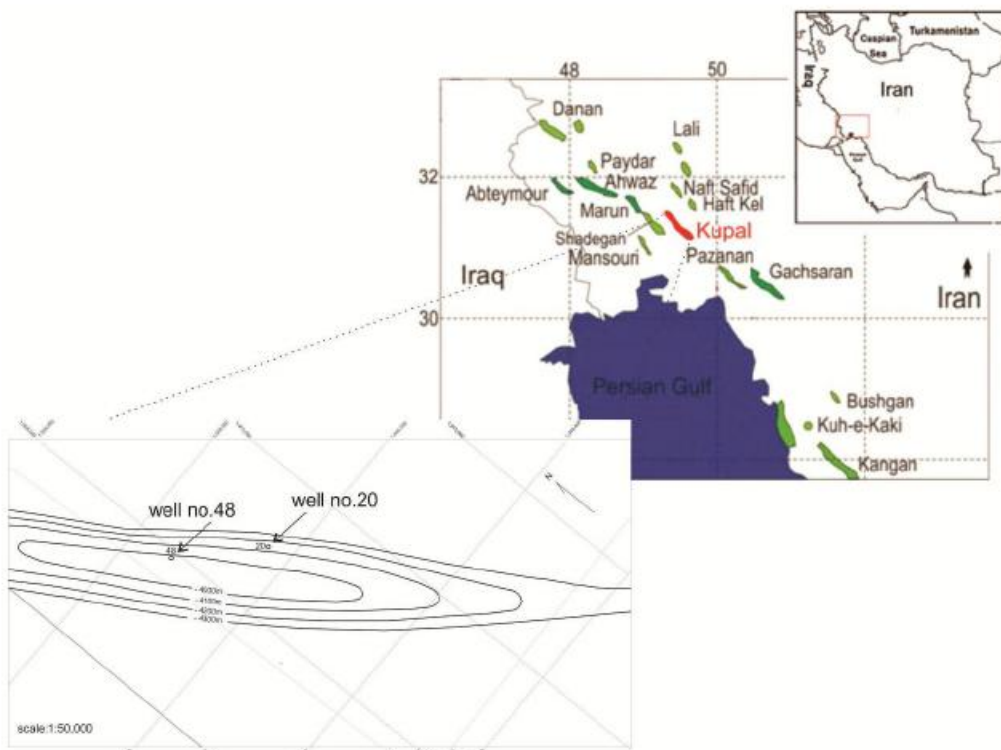
⁴cyclostratigraphy

⁵Maximum Entropy Spectral Analysis

سورگاه در این میدان رسوب‌گذاری نکرده است که با توجه به محتوای فسیلی می‌توان به مرز ناپیوستگی فرسایشی (ناشی از رخداد ساب هرسی‌تین) میان آن‌ها اشاره نمود، لذا مرزهای ایلام و سروک با تبود رسوب‌گذاری کنیاسین همراه است [۲]. حرکت تدریجی و رو به پالای ناحیه کوپال در اوآخر سنومانین منجر به رسوب‌گذاری کربنات‌های کم عمق با ضخامت نسبتاً زیاد در این ناحیه شده و باعث شده است تا ناحیه کوپال از محیط دریایی عمیقی که سازند سورگاه در آن رسوب‌گذاری می‌کرده جدا شود [۲].

زمین‌شناسی و موقعیت جغرافیایی

میدان نفتی کوپال در ۵۰ کیلومتری شمال‌شرق اهواز قرار دارد (شکل ۱). از لحاظ تکتونیکی در بخش مرکزی فروافتادگی دزفول شمالی قرار داشته و روند آن شمال-غرب - جنوب‌شرق است [۱]. عمق حفاری سازند سروک در چاه شماره ۴۸ این میدان حدود ۵۷۰ متر و در چاه شماره ۲۰ حدود ۶۵۰ متر است و این بخش از سازند که مورد حفاری قرار گرفته سنی معادل آلبین بالا تا تورونین دارد [۲]. سازند سروک در این میدان به طور کامل حفاری نشده و مرز زیرین آن تامشخص است و مرز بالایی آن با سازند ایلام به طور ناهمساز بوده و سازند



شکل ۱. موقعیت میدان نفتی کوپال در جنوب‌غرب ایران و چاههای ۲۰ و ۴۸ روی نقشه UGC سازند سروک

شده است. این نرم‌افزار نمودارهای الکترونیکی را به نمودارهای طبقی تبدیل می‌کند که برای مطالعات چینه‌شناسی سکاتسی به کار می‌رود [۷]. در این تحقیق برای تعیین سیکل‌های میلانکوویچ از شمارش پیک‌های لاغ گاما [۱۹] و آنالیز طبقی MESA استفاده شده است [۷ و ۲۵]. از آنجا که لاغ گاما نسبت به شرایط محیطی واکنش زیادی نشان می‌دهد، آثار چرخه‌های میلانکوویچ موجود در لایه‌های رسوبی نیز در آن ثبت شده و با استفاده از نرم‌افزار سیکلولاغ قابل شناسایی است

روش مطالعه

در این تحقیق تعداد ۲۵۰ مقطع تازک از مغزه‌ها و خردکهای حفاری چاههای شماره ۴۸ و ۲۰ به منظور تعیین میکروفاصله‌ها و تقسیم محیط رسوبی مطالعه شده است. تام‌گذاری سنگ‌های کربناته به روش دانهام [۸] و امپری و کلوون [۹] صورت گرفته است. با توجه به اینکه در چاههای مورد مطالعه مغزه کامل وجود ندارد، مرز سکاتس‌ها بیشتر با تأکید بر تغییرات لاغ گاما و نمودار D-INPEFA-SGR در نرم‌افزار سیکلولاغ تعیین

INPEFA: متحنی PEFA را می‌توان به متحنی INPEFA تبدیل نمود که نشان‌دهنده اختلاف تجمعی بین مقادیر لاغ پیش‌بینی شده و مقادیر واقعی لاغ است [۷]. نمودار INPEFA روند طبقی طول موج‌های کوتاه لاغ گاما است که تغییرات میزان پرتو گاما را به صورت افزایشی یا کاهشی نشان می‌دهد، یعنی روندها و دیگر الگوهایی که معمولاً از داده‌های لاغ اصلی معلوم نیستند را آشکار می‌کند [۱۶]. مقادیر این نمودار از صفر تا یک تغییر می‌کند. از آنجا که لاغ‌ها به شکل آنالوگ ثبت شده‌اند به صورت رده‌های پیوسته مشاهده می‌شوند، اما این لاغ‌ها (PEFA-INPEFA) به شکل دیجیتال^۲ یا نقطه داده‌هایی در فواصل گسسته ثبت شده‌اند [۱۶].

اگر نمودار به سمت صفر تغییر کند، روند منفی یا کاهشی دارد. این روند منفی در متحنی INPEFA نشان دهنده پخشی از داده‌هاست که مقادیر واقعی لاغ کمتر از مقدار پیش‌بینی شده در نمودار INPEFA است. به طور کلی می‌توان این روند منفی را به عنوان پسروی^۳ در نظر گرفت. منفی شدن به سمت بالا در اثر افزایش رسوبات دانه درشت، کم عمق شوندگی و کاهش فاصله از خط ساحلی است [۱۷] باعکس اگر نمودار به سمت یک تغییر کند، روند مثبت یا افزایشی دارد. روند مثبت در این متحنی نشان‌دهنده پخشی از داده‌هاست که مقادیر واقعی لاغ بیشتر از مقدار پیش‌بینی شده در نمودار دهنده افزایش رسوبات دانه‌ریز، عمیق شونگی و همچنین افزایش فاصله از خط ساحلی است [۱۶].

در واقع اهمیت زمین‌شناسی روند INPEFA در نقاطی است که تغییراتی را نشان دهنده، به ویژه در جایی که این نقاط از منفی به مثبت یا بر عکس تغییر می‌کنند. بعضی از نقاط عطف در متحنی INPEFA نشان‌دهنده تغییرات می‌باشد که این تغییرات را می‌توان با استفاده از مقدار PBS^۴ و روند کاهشی مقادیر INPEFA را روند منفی^۵ یا می‌نامند [۱۷].

[۱۷]. یک پرتو گاما اساساً تجمعات رادیواکتیویته سه عنصر پتاسیم، توریوم و اورانیوم را یک جا اندازه‌گیری می‌کند [۲۰]. با توجه به حضور این عناصر در کاتی‌های مختلف موجود در توالی‌های رسوبی و ثبت آن‌ها در لاغ گاما، این لاغ ابزار مناسبی برای بررسی رویدادهای چرخه‌ای مثل سیکل‌های میلانکوویچ است [۱۷].

نرم‌افزار سیکلولاغ به‌طور خاص برای مطالعات زیرسطحی و براساس لاغ‌های پتروفیزیکی طراحی شده است [۱۷]. در واقع این نرم‌افزار برای بررسی سیکل‌های میلانکوویچ ثبت شده در لایه‌های رسوبی از الگوهای چرخه‌ای ثبت شده در لاغ‌های پتروفیزیکی (مثل لاغ گاما) که نسبت به تغییرات رخساره‌ای حساسیت بالاتری دارد) استفاده می‌کند. یکنواختی لاغ نشان‌دهنده یکنواختی شرایط محیطی در آن عمق و پیک‌های موجود نشان‌دهنده تغییر شرایط محیط رسوب‌گذاری است [۱۷].

آنالیز طیفی MESA

آنالیز طیفی MESA از ابزارهای آنالیزی جدیدی است که در تفسیر لاغ‌ها کاربرد دارد. این روش از طریق محاسبه فیلتر پیش‌بینی خطأ^۶ برای تعیین مولقه‌های طیفی موجود در لاغ انجام می‌شود [۱۶]. در بررسی‌های چینه‌شناسی، نمودار MESA برای ایجاد دو نوع نشانگر طیفی PEFA و INPEFA در نرم‌افزار سیکلولاغ بر اساس داده‌های لاغ‌های پتروفیزیکی به‌خصوص لاغ گاما استفاده می‌شود.

PEFA: با استفاده از یک لاغ حساس به رخساره مثل لاغ گاما می‌توان PEFA را محاسبه کرد. در نرم‌افزار سیکلولاغ تغییرات زیاد PEFA ممکن است در ارتباط با حوادث زمین‌شناسی مثل تغییر در آب و هوا، دینامیک حوضه و وققه‌های چینه‌شناسی باشد. مقادیر از PEFA از ۱۰- تا ۱۰+ متغیر است. مقادیر صفر تا ۱۰- (خطای پیش‌بینی شده منفی) معمولاً نشانه‌ای از سطوح فرسایشی و مقادیر صفر تا ۱۰+ (خطای پیش‌بینی شده مثبت) معمولاً نشان‌دهنده افزایش سطح آب است. اگر پیش‌تر مقادیر نزدیک به صفر باشند به این معنی است که خصوصیات طیفی داده‌ها نسبتاً بدون تغییر باقی‌مانده است [۱۷].

²datapoint

³regression

⁴transgression

⁵ Positive Bounding Surface

⁶ Negative Bounding Surface

^۱ prediction error filter

محیط لاغونی (مجموعه C): از سه میکروفاسیس تشکیل شده است.

(C1) وکستون پلوئیدی تا وکستون پلوئیدی یا تنوع کم فرامینی فر پنتیک: اجزای اصلی تشکیل‌دهنده این میکروفاسیس پلوئید است که در زمینه‌ای از گل آهکی قرار دارند. در بعضی از نمونه‌ها فرامینی‌فرهای پنتیک ریز مثل میلیولید، نزاکاتا و تکستولاریا دیده می‌شود. سایر اجزا مانند خارپوست و پوسته دوکفه‌ای و خردۀ‌های فسیلی از اجزای فرعی این میکروفاسیس می‌باشند که به تدرت مشاهده شدند (شکل-۲).

(C2) پکستون پلوئیدی دارای فرامینی‌فرهای پنتیک متتنوع این میکروفاسیس که در اعماق مختلف گسترش دارد دارای فرامینی‌فرهای شاخمن محیط لاغونی مثل میلیولید، نزاکاتا، تکستولاریا، دیسیکالینا و آلوئولین به همراه مقدار زیادی پلوئید در زمینه‌ای از گل آهکی است. فرامینی‌فرهای پنتیک دیگری مثل کریستالیدیا، منگشتیا، شوفاتلا، پاوتیا، سودولیتوتلاریا و مونکارماتیا نیز در این میکروفاسیس شناسایی شدند. در این میکروفاسیس فرامینی‌فرهای پنتیک اندازه درشت‌تری تسبیت به میکروفاسیس قبلی دارند (شکل-۲).

(C3) وکستون تا پکستون بیوکلاستی: اجزای اصلی این میکروفاسیس قطعات نسبتاً درشتی از خردۀ‌های بیوکلاست (پوسته دوکفه‌ای و اکینودرم)، استراکود و به مقدار کمتر جلبک سیز است. البته فرامینی‌فرهای پنتیک کوچک مثل نزاکاتا، میلیولید و تکستولاریا نیز که شاخص محیط لاغونی هستند، در این میکروفاسیس به عنوان اجزای فرعی هستند. احتمالاً در مجموعه لاغونی این میکروفاسیس در عمق کمتری قرار دارد (شکل-۲).

تفسیر محیط رسوبی

در محیط دریایی باز میکروفاسیس A1 در این مجموعه عمیق‌ترین میکروفاسیس بوده و به علت تداشتن فون‌های پنتیک، رسوب‌گذاری در محیط رمپ خارجی صورت گرفته که وجود الیگوستزین‌ها در زمینه میکرات نیز مovid این مطلب است. در میکروفاسیس A2 وجود فرامینی‌فرهای پنتیک ریز به همراه پلانکتون‌ها نشان دهنده کاهش عمق رسوب‌گذاری نسبت به میکروفاسیس پیشین است. در نهایت میکروفاسیس A3 که با رودیست قراوان مشخص می‌شود نشان‌دهنده قسمت‌های کم عمق

میکروفاسیس‌های سازند سروگ

میکروفاسیس‌های شناسایی شده از دریا به سمت خشکی شامل سه مجموعه A، B و C به شرح زیر هستند: دربای باز (مجموعه A): این مجموعه از سه میکروفاسیس تشکیل شده است.

(A1) مادستون تا وکستون الیگوستزین‌دار: اجزای اصلی این زیر مجموعه الیگوستزین‌ها هستند این میکروفاسیس بدون فوتای کم عمق است و در نمونه‌های مورد مطالعه با گسترش محدود و پیش‌تر در چاه شماره ۲۰ مشاهده شد (شکل-۲).

(A2) وکستون دارای فرامینی‌فرهای پنتیک و پلازویک: این میکروفاسیس در تناوب با میکروفاسیس‌های دریایی باز و پشتنه دیده می‌شود. در این میکروفاسیس فرامینی‌فرهای پنتیک مانند میلیولید همراه با پوسته دوکفه‌ای پلازویک، فرامینی‌فرهای پلازویک مثل گلوبی‌ورینا و روتالیپورا و الیگوستزینید دیده می‌شوند که اکثرها با کلسیت پر شده‌اند. اجزای فرعی آپلولئیدها هستند (شکل-۲).

(A3) پکستون-رودستون رودیستی دارای فرامینی‌فرهای پنتیک: اجزای اصلی تشکیل‌دهنده این میکروفاسیس شامل خردۀ‌های رودیست به مقدار قراون، پوسته‌های دوکفه‌ای و قطعات اکینودرم است و به مقدار کمتر فرامینی‌فرهای پنتیک و پلوئید در آن دیده می‌شود (شکل-۲). این میکروفاسیس نسبت به میکروفاسیس قبلی در عمق کمتری قرار دارد چرا که فرامینی‌فرهای پلازویک در آن دیده نشده است (شکل-۲).

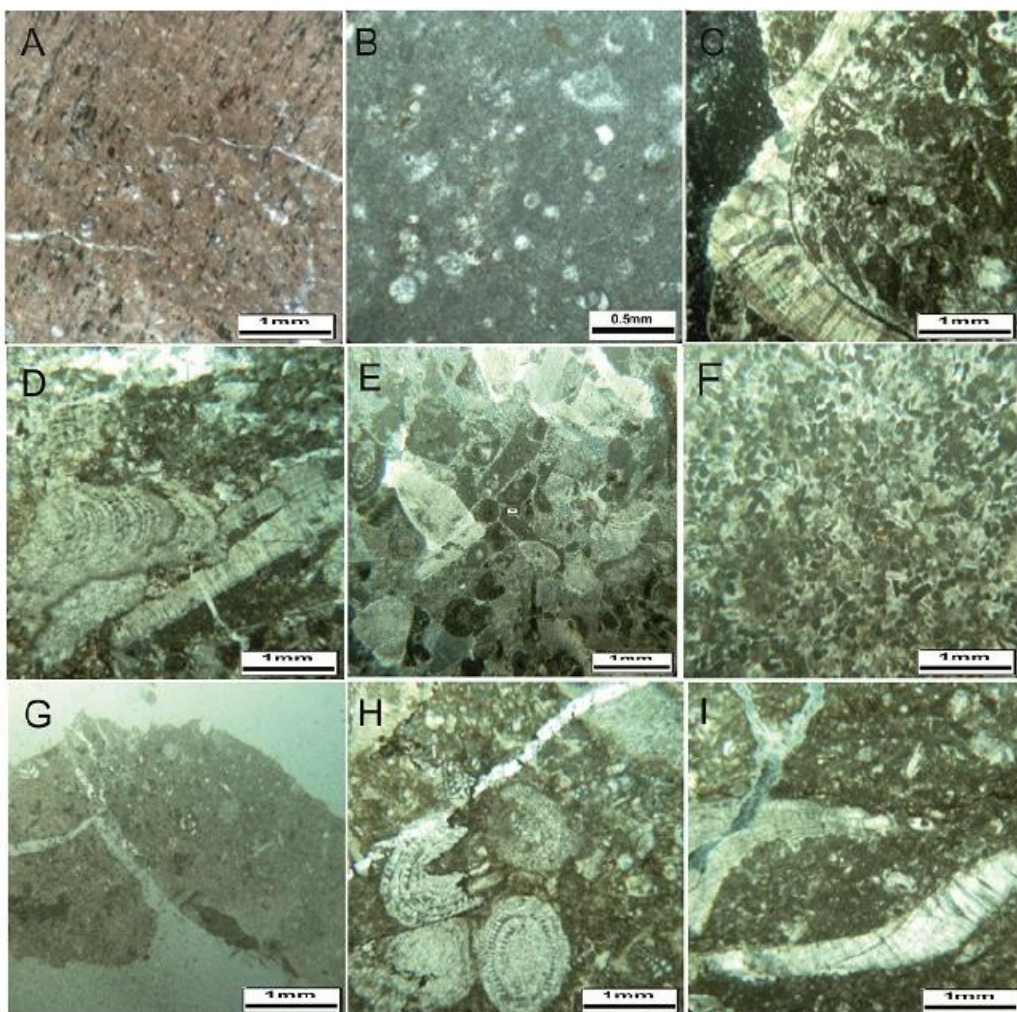
محیط پشتنه (مجموعه B): دو میکروفاسیس در این مجموعه شناسایی شده است.

(B1) گرینستون اینترالکلستی بیوکلاستی: در این میکروفاسیس در زمینه‌ای از کلسیت اسپاری قطعات اسکلتی (مثل رودیست و اکینودرم) و اینترالکلست به فراوانی دیده می‌شود (شکل-۲) و به مقدار خیلی کم هم پلوئید مشاهده می‌شود.

(B2) گرینستون پلوئیدی دارای فرامینی‌فرهای پنتیک: دانه‌های اصلی در این میکروفاسیس پلوئید بوده و مقداری فرامینی‌فر پنتیک ریز مثل تکستولاریا، میلیولید، آلوئولین و پوسته دوکفه‌ای و خارپوست به عنوان اجزای فرعی است. در این میکروفاسیس فرامینی‌فرهای پنتیک نسبت به محیط لاغون کوچک‌تر و دارای تنوع کمتری هستند (شکل-۲).

تازه به این قسمت‌های عمیق‌تر لاغون باشد [۲۴] و از طرف دیگر پلولید فراوان است. از طرف دیگر در میکروفاسیس C2 فرامینی‌فرهای پنتیک تنوع بیش‌تر و اندازه درشت‌تری دارند که این مستله نشان‌دهنده محیطی با چرخش آب آزاد و اثری هیدرودینامیکی متوسط تا بالاست [۳ و ۲۲] و همچنین میکروفاسیس C3 با داشتن خرده‌های بیوکلاست درشت‌تر و کاهش میزان گل پیانگر قسمت‌های کم عمق لاغون و تزدیک به پشته کربناته است.

دریای باز یا شوری متغیر و تزدیک به خط امواج ترمال [۱۰] است. دو میکروفاسیس B1 و B2 در محیط پشته با توجه به شواهد موجود مثل نیود گل آهکی، فراوانی اینتراکلسیت و جورش‌دگی خوب دانه‌ها، در محدوده خط اثر امواج و در محیطی با ارزی بالا تشکیل شده‌اند. حضور پلولیدها در این می‌تواند نشانه‌ای از انتقال ارزی از شرلیط کم ارزی‌تر به پرانرزی باشد [۴]. در مجموعه لاغون، میکروفاسیس C1 متعلق به قسمت‌های عمیق لاغون است چرا که تنوع موجودات کم بوده و اکثراً اندازه ریزی دارند که این مستله می‌تواند به علت ورود کم آب



شکل ۲. تصاویر میکروسکوپی میکروفاسیس‌های سازند سروک در میدان گوپال A (XPL) - مادستون تا وکستون الیگوسترن دار عمق ۴۲۶ متری B- وکستون دارای فرامینی‌فرهای پنتیک و بلازیک عمق ۴۱۵۱ متری C- وکستون تا پکستون رو دیستی دارای فرامینی- فرهای پنتیک عمق ۴۱۸۳ متری D- رو دستون رو دیستی عمق ۴۴۸۵ متری E- گرینستون اینتراکلسیتی بیوکلاستی عمق ۴۵۵۱ متری F- گرینستون پلولیدی دارای فرامینی‌فرهای پنتیک عمق ۴۵۲۰ متری G- وکستون پلولیدی تا وکستون پلولیدی دارای فرامینی‌فرهای پنتیک عمق ۴۳۰۰ متری H- پکستون پلولیدی دارای فرامینی‌فرهای پنتیک متتنوع عمق ۴۳۴۵ متری I- وکستون تا پکستون بیوکلاستی عمق ۴۰۹۱ متری چاه ۴۸

ضخامت سکانس یک (۱۸۰ متر) در چاه شماره ۲۰ از چاه ۴۸ بیشتر است و تقریباً تا عمق ۴۷۲ متری ادامه دارد. ضخامت بخش TST حدود ۱۲۰ متر بوده و از TST چاه ۴۸ بیشتر است. در این بخش لاغ گاما و نمودار D-INPEFA_SGR روندی افزایشی نشان می‌دهد (PBS). این سکانس در عمق ۴۷۸۰ متری است و مقدار لاغ گاما در این عمق به حدود ۶۰ API رسیده است. در بخش HST با ضخامت ۶۰ متر مقدار لاغ گاما و نمودار D-INPEFA_SGR کاهش می‌یابد (NBS) تا اینکه در مرز سکانس (SB-2) مقدار نمودار D-INPEFA_SGR به صفر و مقدار لاغ گاما به حدود ۱۰ API رسیده است. نمودار PEFA نیز مطابق با بخش MFS سکانس روند کمی به سمت مقادیر مثبت و در مرز بین دو سکانس ابتداء به سمت مثبت و با شروع سکانس ۲ به سمت مقادیر منفی تغییر می‌کند.

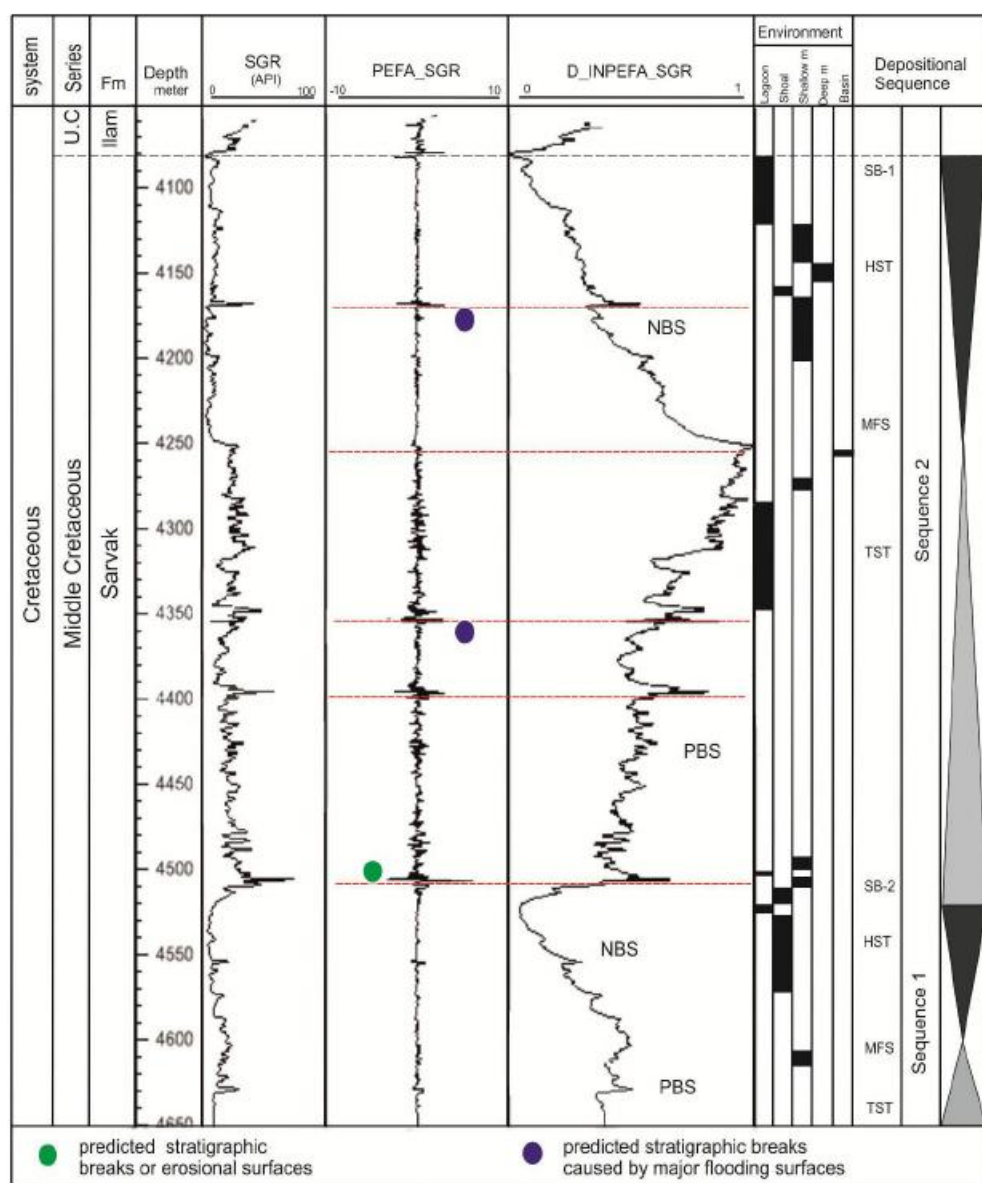
سکانس ۲: این سکانس از سکانس اول ضخیم‌تر است و در چاه ۴۸ در عمق ۴۵۲۵ تا ۴۰۸۰ متری قرار دارد. ضخامت بخش TST آن (۲۷۵ متر) بیشتر از بخش D-HST (۱۷۰ متر) بوده و لاغ گاما و نمودار D-INPEFA_SGR روندی افزایشی نشان می‌دهد (PBS) تا اینکه در سطح MFS لاغ گاما به ۲۸ API رسیده است. در قسمت‌های D-INPEFA_SGR ابتدایی و انتهایی این بخش مغزه‌گیری صورت گرفته است. در عمق ۴۵۲۵ تا ۴۴۸۰ متری هم‌زمان با افزایش لاغ گاما میکروفارسیس‌های پشتہ (گرینستون پلوبیدی دارای فرامینی فرهای بنتیک) به میکروفارسیس‌های کم عمق دریایی باز (روستون روپیستی) تبدیل شده‌اند. البته به مقدار کم در تنابو با میکروفارسیس‌های کم عمق دریایی باز میکروفارسیس‌های محیط لagon هم دیده می‌شود. در قسمت‌های انتهایی این بخش، نمونه‌های مورد مطالعه میکروفارسیس‌های کم عمق لagonی (پکستون پلوبیدی دارای فرامینی فرهای بنتیک) پکستون تا پکستون بیوکلاستی را نشان می‌دهند که در نهایت در میکروفارسیس‌های کم عمق دریایی باز (پکستون روپیستی) تبدیل شده‌اند. مقدار MFS به نزدیکی عمق ۴۲۵۰ متری مطابق با میکروفارسیس‌های کم عمق دریایی باز (پکستون روپیستی) دارای فرامینی فرهای بنتیک) و حوضه (مادستون تا وکستون الگوسترن دار) تبدیل شده‌اند. بخش HST این سکانس مطابق با کاهش ناگهانی لاغ گاما (NBS) و نمودار D-INPEFA_SGR است. در این بخش ابتدا

چینه‌نگاری سکانسی

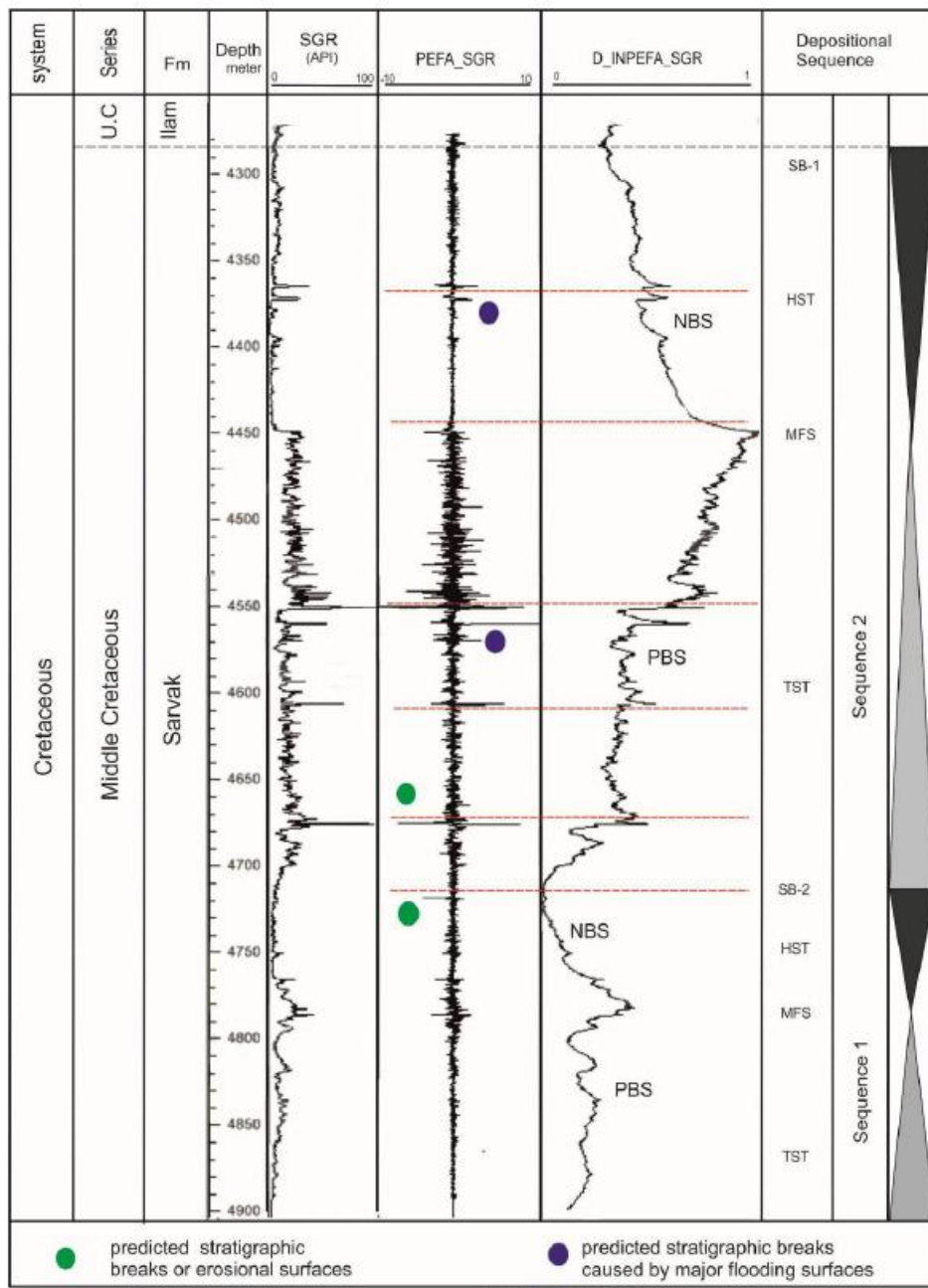
با توجه به تغییرات مشاهده شده در میکروفارسیس‌ها و محیط رسوبی، تغییرات لاغ گاما و نمودار D-INPEFA_SGR دو سکانس رسوبی درجه سوم در چاه‌های شماره ۴۸ و ۲۰ شناسایی شد (شکل‌های ۳ و ۴). سکانس ۱: این سکانس در چاه ۴۸ در عمق ۴۶۶۵ تا ۴۵۲۵ متری قرار دارد. جهت شناسایی سیستم ترکت‌ها نیز از تغییرات محیطی با توجه به میکروفارسیس‌ها و پرسی لاغ گاما و نمودار D-INPEFA_SGR استفاده شد. قسمت TST آن حدود ۶۰ متر و آن HST آن ۸۰ متر ضخامت دارد. در TST لاغ گاما افزایش یافته است MFS (PBS) تا اینکه در عمق حدود ۴۶۰۰ متری به ۲۳ API رسیده است. در قسمت HST لاغ گاما کاهش یافته (NBS) و میکروفارسیس‌های کم عمق دریایی باز (پکستون روپیستی دارای فرامینی فرهای بنتیک) به میکروفارسیس‌های محیط پشتہ (گرینستون اینترالاستی بیوکلاستی و گرینستون پلوبیدی دارای فرامینی فرهای بنتیک) و لagonی (وکستون پلوبیدی با تنوع کم فرامینی فرهای بنتیک) تبدیل شده‌اند. مرز این سکانس بالایی از نوع SB2 است که مطابق با میکروفارسیس‌های کم عمق لagonی در سازند مورد مطالعه است. با در نظر گرفتن روند تغییرات میکروفارسیس‌ها مرز این دو سکانس از نوع SB2 است زیرا در این مرز شواهدی از پسروی کامل دریا و خروج رسوبات از زیر آب وجود ندارد. در این مرز مقدار لاغ گاما به ۴ API و مقدار نمودار D-INPEFA_SGR به صفر رسیده است، همچنین روند نمودار PEFA در این مرز ابتدا به سمت مثبت و با شروع سکانس ۲ به سمت مقادیر منفی تغییر پیدا کرده است. از بین لاغ‌های پتروفیزیکی لاغ گاما و نمودار INPEFA (که از لاغ گاما ساخته می‌شود) در کنار مطالعات میکروسکوپی می‌تواند مبنای خوبی برای پرسی تغییرات سطح دریا پاشد [۱۶]. برای پرسی و شناسایی سکانس‌های چاه شماره ۲۰ به دلیل عدم وجود مغزه و فاصله زیاد مقطع خردنهای حقاری، آنالیز چینه‌نگاری سکانسی بیشتر با توجه به تغییرات لاغ گاما و نمودار D-INPEFA_SGR و تطبیق آن با چاه ۴۸ صورت گرفته است چرا که از نظر تغییر روند این دو نمودار شباهت زیادی با هم دارند.

سورگاه در این میدان رسوب‌گذاری نکرده است [۲]. در این مرز مقدار لاغ گاما به حدود ۲-۳ API و مقدار تمودار D-INPEFA_SGR یه صفر رسیده است، که با تغییر در روند تمودار PEFA مطابق است. همچنان تمودار PEFA حدوداً در عمق ۴۳۵۰ و ۴۴۰۰ متری TST سکانس ۲ از مقدار صفر دور شده و به سمت مقادیر مثبت و منفی تغییر می‌کند. این تغییر روند به خوبی با تغییر روند تمودار INPEFA در همان اعماق مطابقت دارد و احتمالاً تعلله‌ای از تغییرات سطح آب است اما با توجه به تبود مژه‌گیری کامل در این اعماق نمی‌توان با تغییرات میکروفاسیس‌ها مطابقت داد.

میکروفاسیس‌های کم عمق دریای باز (پکستون رو دیستی دارای فرامینی فرهای بنتیک و وکستون دارای فرامینی فرهای بنتیک و پلاویک) دیده می‌شود که در میان آن‌ها به مقدار کم میکروفاسیس‌های پشتی (گرینستون اینترکلاستی پیوکلاستی) وجود دارد. این میکروفاسیس‌ها در نهایت به میکروفاسیس لاغونی (وکستون پلوئیدی تا وکستون پلوئیدی با ت نوع کم فرامینی فر بنتیک) تبدیل شده‌اند. مرز زیرین این سکانس از نوع SB2 و مرز بالایی آن با سازند ایلام از نوع SB1 است چرا که مرز فوقانی آن با سازند ایلام به طور تاهمساز یوده و به علت رخداد ساب هرسی نین سازند



شکل ۳. چینه‌نگاری سکانسی، منحنی INPEFA و PEFA سازند سروگ در جاه شماره ۴۸ میدان نفتی کوبال (جدول پیوست)



شکل ۴. چشم‌نگاری سکانسی، منحنی INPEFA و PEFA سازند سروک در چاه شماره ۲۰ میدان نفتی گوپال (جدول پیوست)

سکانس ۲ در چاه شماره ۲۰ نیز از سکانس ۱ پیشیم تر بوده و ۴۵۰ متر ضخامت دارد. شروع این سکانس با افزایش ناگهانی لاغ گاما (PBS) همراه است. پخش آن ۲۷۰ متر است و از TST ۴۸ ضخامت بیشتری دارد و در این پخش لاغ گاما افزایش پیدا کرده و در نهایت در MFS ۴۲ API به رسیده است. همچنانی نمودار D-INPEFA_SGR در این عمق به بیشینه مقدار خود رسیده است. در بالای MFS منحنی PEFA منطبق است در پخش HST با ضخامت

سکانس ۲ در چاه شماره ۲۰ نیز از سکانس ۱ پیشیم تر بوده و ۴۵۰ متر ضخامت دارد. شروع این سکانس با افزایش ناگهانی لاغ گاما (PBS) همراه است. پخش آن ۲۷۰ متر است و از TST ۴۸ ضخامت بیشتری دارد و در این پخش لاغ گاما افزایش پیدا کرده و در نهایت در MFS ۴۲ API به رسیده است. همچنانی نمودار D-INPEFA_SGR در این عمق به بیشینه مقدار خود رسیده است. در بالای MFS منحنی

رسوب‌گذاری در کل سازند ۶۱ متر در هر میلیون سال یا به عبارتی ۶/۱ سانتی‌متر در هر هزار سال پرآورده است. براساس نمودار پرتو گاما چرخه‌ها در سه مقیاس متفاوت کوتاه مدت، میان مدت و طولانی مدت هستند. چرخه‌های کوتاه مدت ضخامتی حدود ۰/۸ تا ۲ متر در هر چرخه داشته و با توجه به ترخ رسوب‌گذاری پرآورده شده (۶/۱ سانتی‌متر در هر هزار سال) دوره‌های ۱۴ هزار ساله و ۳۵ هزار ساله را نشان می‌دهند که می‌توانند مطابق با سیکل‌های ۱۹ هزار ساله^۱ و ۳۹ هزار ساله^۲ باشند. چرخه‌های میان مدت حدود ۴ تا ۱۰ متر ضخامت داشته و دوره‌های ۷۰ و ۱۷۵ هزار ساله را نشان می‌دهند و قابل مقایسه با سیکل‌های ۱۰۰ هزار ساله^۳ هستند. و بالاخره سیکل‌هایی با ضخامت حدود ۲۰ تا ۳۰ متر در هر چرخه، دوره‌های ۳۵۰ و ۵۲۰ هزار ساله را نشان می‌دهند و معرف سیکل‌های ۴۱۳ هزار ساله^۴ هستند. از میان آن‌ها سیکل‌های Short Eccentricity تعداد بیشتری دارند. همانطور که در شکل ۵ نشان داده شده است به ترتیب تعداد ۱۱۵ و ۱۲۰ سیکل (SEC)^۵ در چاه شماره ۴۸ و ۲۰ شناسایی شد. تعداد سیکل‌های (LEC)^۶ شناسایی شده در چاه شماره ۴۸ و ۲۰ به ترتیب ۲۳ و ۲۹ سیکل بوده است. البته سیکل‌های Precession و Obliquity که ضخامت کمتری دارند در شکل نشان داده نشده‌اند. پنایرلین یا توجه به تعداد سیکل‌های صد هزار ساله به دست آمده می‌توان گفت سن این قسمت از سازند که مورد حفاری قرار گرفته حدود ۱۱ تا ۱۲ میلیون سال به دست می‌آید: اما در این روش تعیین مرز چرخه‌ها مخصوصاً زمانی که به هم تزدیک می‌شوند مشکل بوده و باعث ایجاد خطأ می‌شود. پنایرلین راه دقیق‌تر برای شناسایی سیکل‌های میلانکوویج ثبت شده در لاغ گاما استفاده از روش‌های آنالیز طبقی است. البته در این روش‌ها نمی‌توان تعداد سیکل‌ها را تعیین کرد بلکه می‌توان یا توجه به طول موج غالب به دست آمده سیکل میلانکوویج غالب و ترخ رسوب‌گذاری در سازند را تعیین کرد.

۱۸۰ متر مقدار لاغ گاما و نمودار D-INPEFA_SGR کاهش می‌یابد (NBS). در انتهای بخش HST در مرز سازند ایلام و سروک در عمق ۴۲۷۰ متری مقدار لاغ گاما به حدود API ۷ رسیده است و در بالای این مرز مقدار PEFA کمی به سمت مثبت رفته است که با آغاز افزایش لاغ گاما مطابقت دارد.

همان‌طور که گفته شد مرز سازند سروک و ایلام از از نوع تاپیوستگی فراسایشی است (SB1). طبق نظر خلیلی [۱۳] وقفه رسوب‌گذاری در مرز بین سازند ایلام و سروک، ناشی از یک تاپیوستگی بزرگ در حد اشکوب کنیاسین است که در اکثر مناطق نفتی جنوب قابل شناسایی است [۱۳].

چرخه‌های میلانکوویج

چرخه‌های کربناته که حالت تکرار شونده دارند در انواع محیط‌های رسوبی در دوران‌های مختلف زمین‌شناسی مشاهده می‌شوند، در کرتاسه گسترنش بیشتری دارند [۲۶]. تغییرات تیروهای مداری زمین (= چرخه‌های میلانکوویج) می‌توانند موجب تشکیل چرخه‌های رسوبی شوند. مبنای مطالعه چینه‌شناسی چرخه‌ای و چرخه‌های میلانکوویج، تغییرات منظم در هندسه چرخش زمین و مدار آن به دور خورشید است که باعث نوسانات آب و هوایی و چرخه‌های منظم رسوبی کوچک مقیاس می‌شود [۲۲]. تغییرات تیروهای مداری براساس دوره‌های زمانی به سه شکل Eccentricity (یا تغییرات در شدت تیروی گریز از مرکز کم و بیش ۱۰۰۰۰ - ۹۵۰۰۰ ساله = short Eccentricity و همچنین در دوره‌های ۴۱۳۰۰۰ ساله)، Obliquity (یا تغییر زاویه Long Eccentricity = کج شدگی محور زمین حدود ۳۹۰۰۰-۴۴۰۰۰ ساله) و Precession (یا تغییرات در لرزش محوری یا رقص محوری بین ۲۲۰۰۰ - ۱۹۰۰۰ سال) تقسیم می‌شود [۲۸، ۲۱ و ۱۹]. این چرخه یا استفاده از لاغ گاما و آنالیز MESA قابل بررسی است.

تعیین چرخه‌های میلانکوویج با استفاده از لاغ گاما: یا توجه به سن آلیین بالا-سنوماتین تا تورونین (حدوداً معادل ۱۰ میلیون سال) و ضخامتی ۵۷۰ متری سازند سروک در چاه شماره ۴۸ و ۴۵۰ متری در چاه شماره ۲۰ میدان کوپال، میانگین ترخ رسوب‌گذاری بدون در نظر گرفتن میزان فشرده‌گی و عدم تغییر ترخ

^۱ Precession

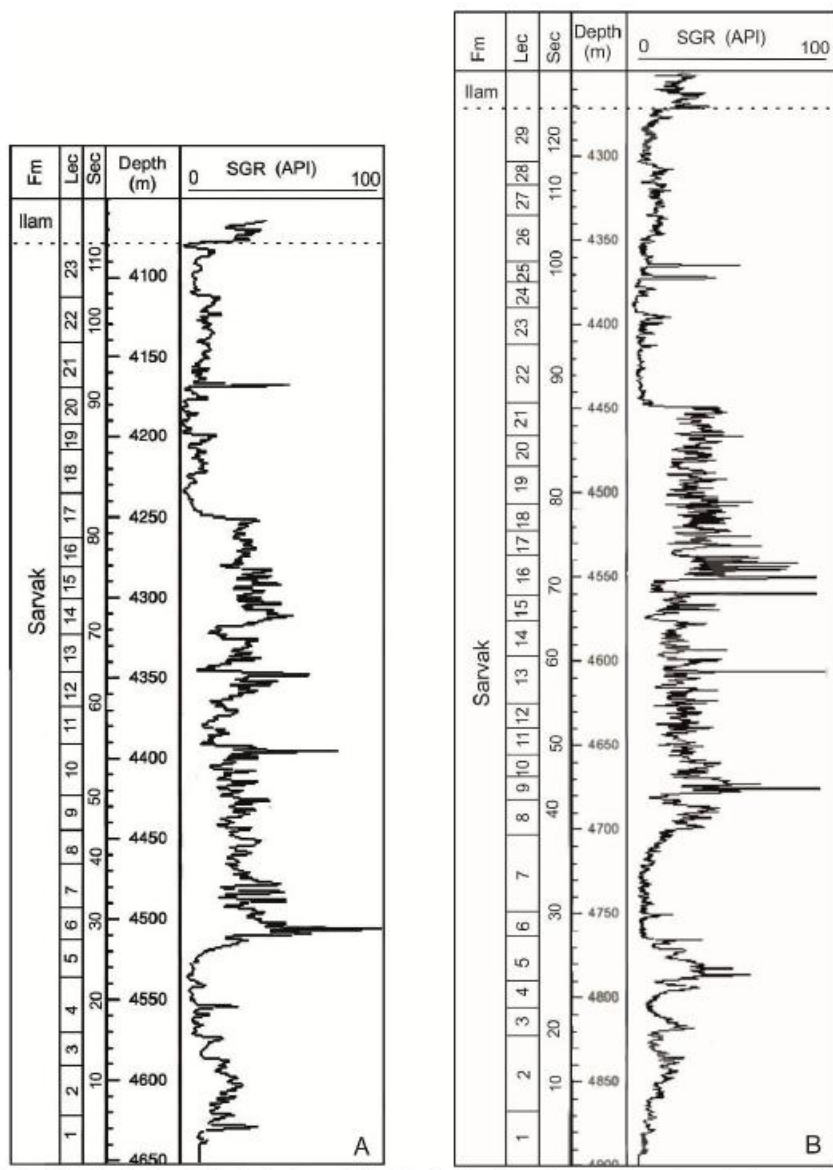
^۲ Obliquity

^۳ short Eccentricity

^۴ Long Eccentricity)

^۵ Short Eccentricity

^۶ Long Eccentricity



شکل ۵. A- شمارش چرخه‌های مداری سازند سروک با استفاده از لاغ گاما در چاه شماره ۴۸ میدان کوپال. B- شمارش چرخه‌های مداری سازند سروک با استفاده از لاغ گاما در چاه شماره ۲۰ میدان کوپال

می‌توان نرخ تجمع خالص رسوب^۱ (N) را در هر عمق به دست آورد. مقدار N ارتباط مستقیمی با مقدار طول موج‌های حاصله از MESA دارد. همان‌طور که در روش قبلی اشاره شد هر پیک لاغ گاما نشانه یک سیکل رسوبی و ضخامت هر سیکل با توجه به فاصله دو پیک گامای متوالی اندازه‌گیری می‌شود اما در این روش میانگین ضخامت سیکل‌های متوالی تعیین می‌گردد [۱۷]. برای مثال در شکل ۶ که در عمق ۴۲۰۰ متری نشانگر دوم عدد ۸/۶ را نشان می‌دهد، روی لاغ

تعیین چرخه‌های میلانکوویج با استفاده از آنالیز MESA: به منظور بررسی سیکل‌های غالب در چاه شماره ۴۸ سازند سروک، آنالیز MESA با استفاده از لاغ گاما در نرم‌افزار سیکلولاغ ترسیم شد (شکل ۶). معمولاً دامنه‌های طیفی از پایین به بالا دارای تغییرات ناگهانی و تدریجی هستند بطوری که تغییرات ناگهانی نشان‌دهنده تأثیروستگی‌های چینه‌شناسی و تغییرات تدریجی منعکس کننده تغییرات تدریجی در نرخ تجمع رسوبی است [۶]. به علاوه در این نرم‌افزار با کمک آنالیز طیفی MESA

^۱Net Accumulation Rate

ضعیفتری نیز با طول موج ۳ و $2/4$ متر نیز شناسایی شده‌اند که نشان‌دهنده چرخه‌های کوتاه مدت‌تر هستند. در ادامه رسوب‌گذاری به سمت پالا تا عمق ۴۴۱۰ متری دامنه طیقی غالب از $5/3$ تا ۷ متر متغیر و ترخ تجمع رسوب نیز از $10/5$ تا $1/7$ است. در این محدوده یک دامنه طیقی دیگر با طول موج $2/4$ نیز قابل مشاهده است. از عمق ۴۴۱۰ تا 4370 متری سه دامنه طیقی قرمز با طول موج‌های $2/6$ و 11 متر قابل مشاهده است. از عمق 4260 تا 4225 ناگهان طول موج و ترخ رسوب‌گذاری افزایش و حدوداً به $25-28$ متر و $0/2$ می‌رسد. بعد از آن تا عمق 4190 متری ترخ رسوب‌گذاری کاهش و به $0/09$ و طول موج به $9/5$ متغیر می‌کند. در ادامه رسوب‌گذاری تا عمق 4150 متری طول موج از $2/3$ تا $4/5$ در تغییر است (شکل C-7). در نهایت تا عمق 4080 متری در تزدیکی مرز سازند ایلام طول موج $9/2$ متری با ترخ رسوب‌گذاری $10/9$ قابل مشاهده است به علاوه یک دامنه طیقی ضعیفتری با طول موج 5 متری نیز در این محدوده وجود دارد.

در چاه شماره ۲۰ از پایین تا عمق 4860 متری دامنه طیقی قرمز رنگ طول موج متری را نشان می‌دهد و N یا $0/08$ m/ka (معادل 8 نرخ تجمع رسوب نیز حدود 4860 سانتی‌متر در هر هزار سال) است. از عمق 4830 متری طول موج غالب $2/8$ متر است. در ادامه تا عمق 4750 متری طول موج به 25 و ترخ تجمع رسوب نیز افزایش و به $0/25$ رسیده است. البته طول موج غالب دیگر در این محدوده، طول موج 7 متر است. حدوداً در عمق 4750 متری دامنه‌های طیقی قرمز و زرد رنگ قطع شده‌اند که این تغییر ناگهانی نشانه تغییر شرایط رسوب‌گذاری است.

در ادامه رسوب‌گذاری تا عمق 4450 متری طول موج‌های غالب مقادیر کمتری را نشان می‌دهند. در بعضی از اعمق دامنه‌های قرمز ضعیفتری با طول موج‌های $3/15$ ، $2/13/7$ متر نیز شناسایی شده‌اند که نشان‌دهنده چرخه‌های کوتاه مدت‌تر هستند. در عمق 4600 متری بیشترین طول موج به $6/4$ و ترخ رسوب‌گذاری به

گاما در همان آن عمق و کمی بالاتر و پایین‌تر طول موج $8/6$ متر است. لازم به ذکر است که تصویر آتالیز طیقی با استفاده از پنجره آتالیزی 40 متر ترسیم شده است، به این معنا که طول موج نشان داده شده در هر عمق تقریباً مربوط به میانگین ضخامت سیکل‌های موجود در محدوده 40 متری آن عمق است.

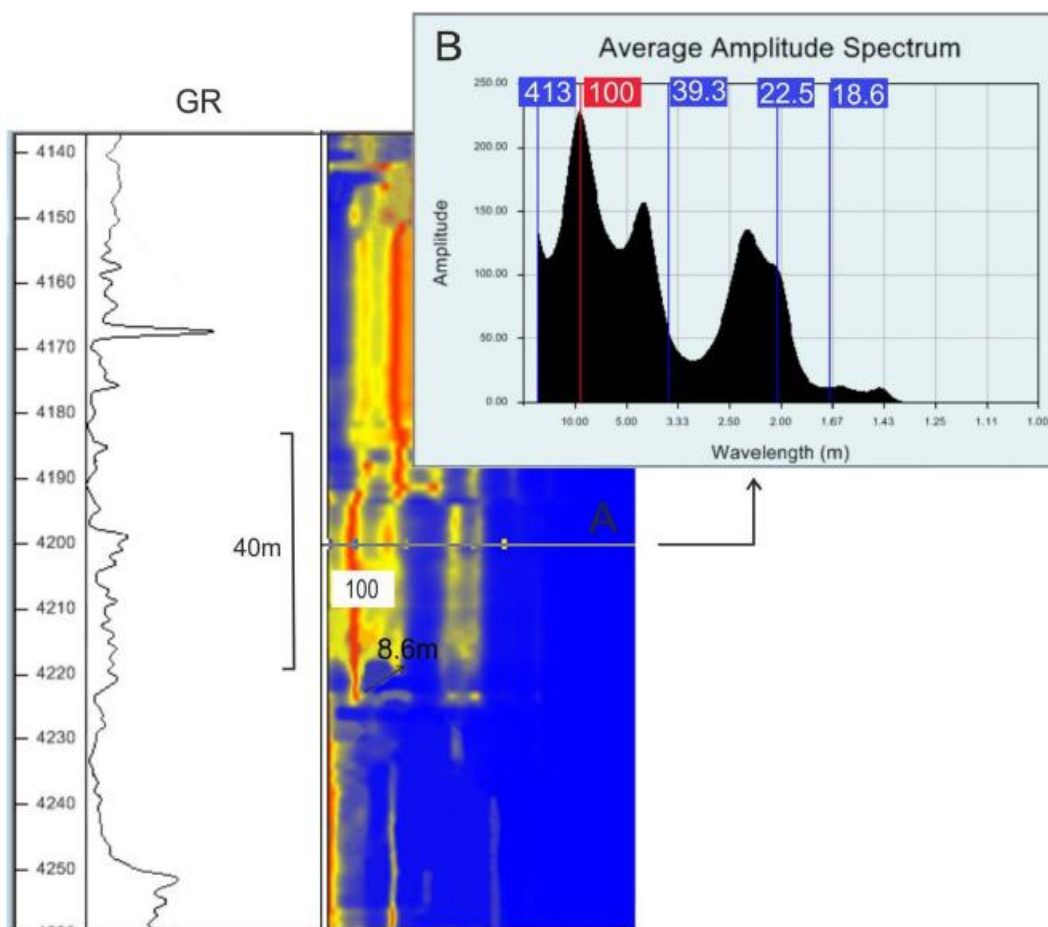
نسبت‌های موجود بین سیکل‌های میلانکوویچ که در سیکلولوگ برای دوره‌های زمین‌شناسی مختلف ثبت شده است برگرفته از نسبت‌های تعیین شده توسط Barger and Loutre هستند [۵] که این نسبت‌ها برای دوره کرتاسه در جدول ۱ نشان داده شده است.

همان‌گونه که نسبت دوره‌های سیکلی بین سیکل‌های میلانکوویچ ($18/6$ ، $22/5$ ، $39/3$ ، 100 ، 413) یکسان است، نسبت طول موج بین موقعیت این 5 نشانگر در اعماق مختلف نیز یکسان است. مثلاً در شکل B - ۶ نسبت طول موج‌های مشخص شده $(1/69, 2/004, 3/4)$ معادل با نسبت دوره‌های سیکلی بین سیکل‌های میلانکوویچ تعیین شده است. متناسب با افزایش طول موج به سمت چپ، این پنج نشانگر نیز از راست به چپ سیکل‌های طولانی‌تر را نشان خواهند داد. در بعضی از اعماق چاههای مورد مطالعه، علاوه بر دامنه اصلی یک یا دو دامنه طیقی ضعیف تر نیز قابل مشاهده است که نشان‌دهنده چرخه‌های کوتاه مدت‌تر هستند.

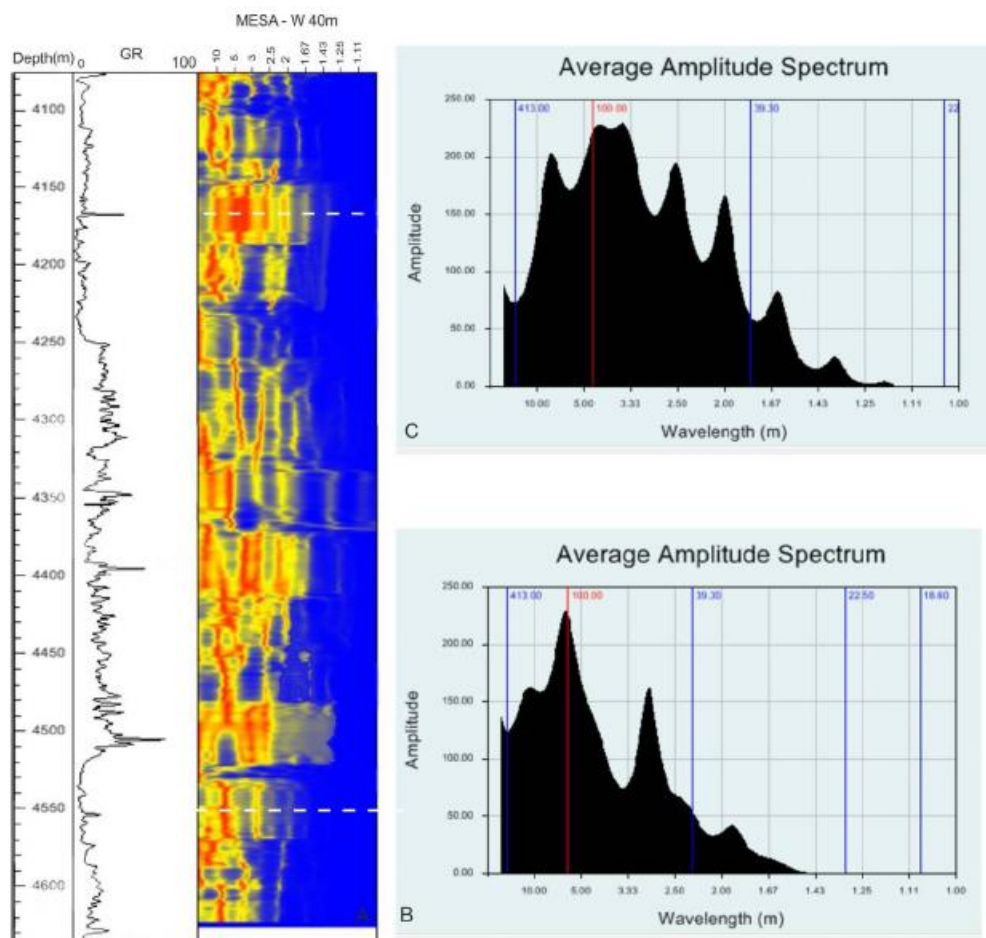
در چاه شماره ۴۸ از پایین تا عمق 4600 متری دامنه طیقی قرمز رنگ طول موج 6 متری را نشان می‌دهد و N یا $0/06$ m/ka (معادل 6 سانتی‌متر در هر هزار سال) است. حدوداً در عمق 4600 متری طول موج به 22 متر و ترخ تجمع رسوب نیز افزایش و به $0/22$ رسیده است. از عمق 4585 متری تا 4570 متری طول موج کاهش و به عدد 8 و ترخ تجمع رسوب نیز به $0/08$ رسیده است (شکل B-7) در ادامه تا عمق 4535 متری نیز طول موج و ترخ رسوب‌گذاری کاهش و به ترتیب به 5 متر و $0/05$ m/ka رسیده است. در این قسمت حدوداً در عمق 4530 متری دامنه‌های طیقی قرمز و زرد رنگ قطع شده‌اند که این تغییر ناگهانی نشانه تغییر شرایط رسوب‌گذاری است. در ادامه تا 4500 متری نمودار طیقی بیشترین مقدار طول موج از 25 تا 30 متر مشاهده شده که ترخ رسوب‌گذاری هم از $0/2$ تا $0/3$ تغییر می‌کند. البته در این عمق دامنه‌های قرمز

با توجه به نتایج بدست آمده از آنالیز طیفی هر دو چاه، بیشتر طول موج‌ها از ۲-۳ و ۱۰-۶ متر متغیر هستند. این طول موج‌ها به ترتیب بیانگر تاثیر سیکل‌های Short Eccentricity و Obliquity اعمق طول موج‌هایی بین ۲۰-۳۰ متر هم مشاهده شد. Long Eccentricity که نشان‌دهنده سیکل‌هایی مطالعه هستند، در توجه به فراوانی طول موج‌های ۱۰-۵ متر سیکل‌های Short Eccentricity غالب در این ۱۰ سانتی‌متر در هر هزار سال است.

۰/۰۶۴ رسیده است (شکل B-۸). اما بیشترین طول موج در نزدیکی عمق ۴۴۵۰ متری و به مقدار ۱۴ تا ۲۶ متری و ترخ رسوب‌گذاری ۰/۱۴ و ۰/۲۶ مشاهده می‌شود. پس از این افزایش، دامنه‌های طیفی دوباره قطع شده‌اند. در ادامه تا مرز سازند سروک و ایلام سه طول موج غالب ۴۳۹۰ تا ۴۳۵۰ متری ۲/۵، ۱۰/۷ و ۳/۵ دارند (شکل C-۸) و در اعمق دیگر طول موج‌های کمتری مشاهده شد که نشان‌دهنده چرخه‌های کوتاه مدت هستند.



شکل ۶. آنالیز طیفی لاغ گاما از عمق ۴۱۴۰ تا ۴۲۶۰ متری سازند سروک در چاه شماره ۴۸ میدان گوبال: در ترسیم شده محور افقی نشان‌دهنده طول موج با مقیاس لگاریتمی است که به سمت چپ افزایش می‌باید و محور عمودی دامنه‌های طیفی را نشان می‌دهد. دامنه‌های اصلی با رنگ قرمز نشان‌دهنده سیکل‌های اصلی، دامنه‌های زرد رنگ نشان‌دهنده سیکل‌های ضعیف و رنگ آبی نشان‌دهنده قسمت‌های بدون دامنه است. (A) با قرار دادن مکان نمای روی MESA مکان نهاده به یک خط افقی با ۵ نشانگر تبدیل می‌شود که در عمق ۴۲۰۰ متری نشان داده شده‌اند و هر کدام از آن‌ها با نشان دادن یک طول موج خاص معروف یکی از تناوب‌های میلانکویج هستند. (B) نمودار میانگین دامنه طیفی مربوط به عمق ۴۲۰۰ متری ترسیم شده است.



شکل ۷. A- آنالیز طیفی MESA از لایه گامای سازند سروک در چاه شماره ۴۸ میدان کوبال. B- میانگین دامنه طیفی مربوط به عمق ۴۷۰ متری. C- میانگین دامنه طیفی مربوط به عمق ۴۵۵ متری.

جدول ۱. نسبت‌های میلانکوویج در گرتاسه [۵]

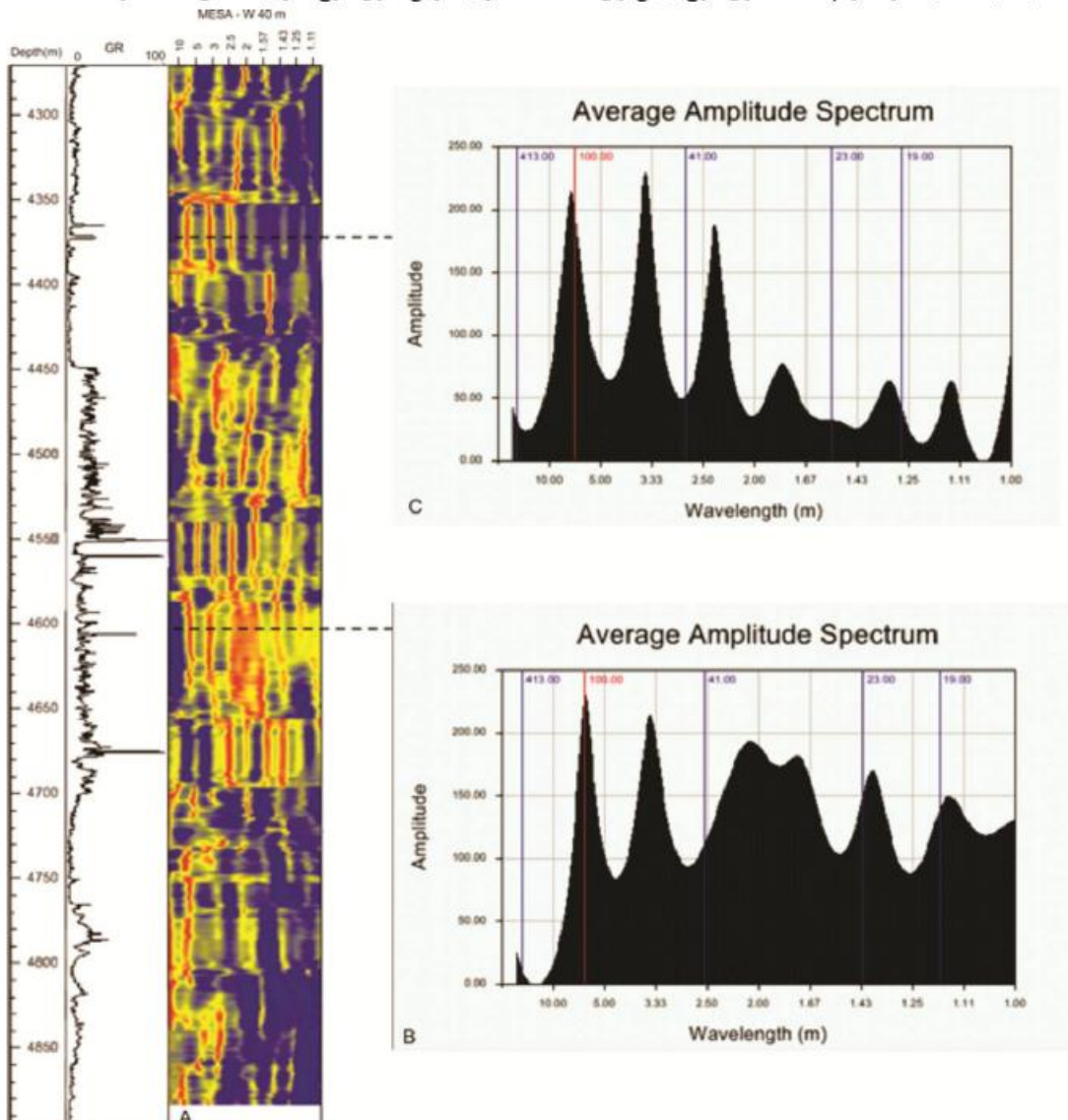
نسبت های میلانکوویج	۴/۱۲	۱	-۰/۲۷	-۰/۲۱	-۰/۱۸
تناوب میلانکوویج (گرتاسه)	۴۱۲Ka	۱۰۰-Ka	۲۷۰-Ka	۲۱۰-Ka	۱۸۰-Ka
پارامترهای میلانکوویج	(Eccentricity)	(Obliquity)	(Precession)		

است ولی در HST این تغییرات برعکس است. حدوداً در عمق ۴۵۲۵ متری چاه ۴۸ و ۴۷۲۰ متری چاه ۲۰ دامنه‌های طیفی زرد و قرمز از بین رفته که این مستله بیانگر تغییر شرایط رسوب‌گذاری بوده و INPEFA نیز به صفر رسیده است: این عمق مطابق با مرز دو سکانس شناسایی شده در چاه‌های مورد مطالعه است. همان‌گونه که گفته شد تغییرات لایه گاما در هر دو چاه روند مشابهی دارد با مقایسه ترخ رسوب‌گذاری به دست آمده از طریق بررسی نمودار گاما و آنالیز مشاهده شد که در بخش‌های مختلف معمولاً ترخ رسوب‌گذاری ساخته در چاه شماره ۲۰ پیش‌تر بوده است.

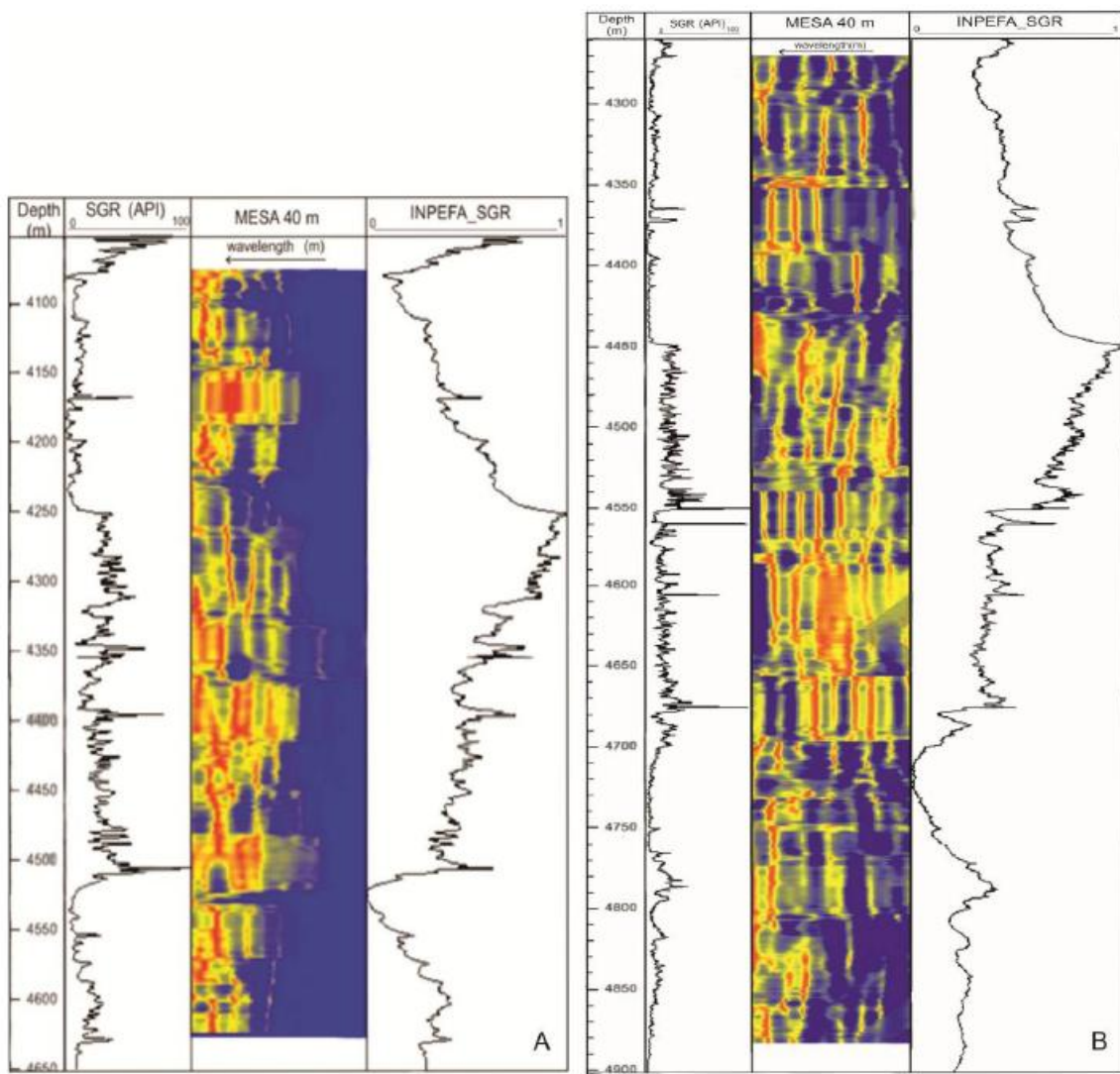
تطابق منحنی MESA و نمودار INPEFA در شکل ۹ تغییرات دو نمودار INPEFA و MESA در هر دو چاه با هم مقایسه شده‌اند. در چاه ۴۸ حدوداً در اعماق ۴۶۰۰ و ۴۲۵۰ متری که مطابق با سطح MFS موجود در دو سکانس هستند و در چاه شماره ۲۰ در اعماق ۴۷۸۰ و ۴۴۵۰ طول موج افزایش یافته و به ۲۵ تا ۳۰ رسیده است. به طور کلی قسمت‌هایی که معادل پخش TST هستند در MESA دامنه طیفی قرمز پیش‌تری دارند و مقدار N (ترخ تجمع رسوب) در آن‌ها پیش‌تر ثبت شده است و این مستله تشارک‌دهنده افزایش فضای رسوب‌گذاری است. بعلاوه INPEFA نیز در حال افزایش

را نشان می‌دهند و تعداد بیشتری چرخه‌های کوتاه مدت در این بخش مشاهده شد که طول موج‌های مختلفی از ۱/۷ تا ۹/۶ نشان دادند الیته در بخش MFS این سکانس در هر دو چاه طول موج به حد اکثر مقدار خود بطور میانگین ۲۵ متر رسیده است. مقایسه بخش HST نیز حاکی از افزایش طول موج و تراخ رسوب‌گذاری در چاه ۲۰ است چرا که بیشترین طول موج‌ها در چاه ۲۰ معادل با ۱۰/۷ و ۹/۵ بوده علاوه بر اینکه چرخه‌های کوتاه مدت‌تر از ۲/۳ تا ۶/۴ نیز مشاهده شدند در صورتی که در چاه ۴۸ طول موج‌های کوتاه‌تر به تعداد کمتر مشاهده شد و بالاترین طول موج تقریباً معادل ۹/۵ متر است.

در بخش TST سکانس یک در چاه ۲۰ بیشترین طول موج‌های به دست آمده ۲۵ و ۸ متر (به ترتیب تراخ رسوب‌گذاری ۰/۲۵ و ۰/۰۸) و در چاه ۴۸ بیشترین طول موج‌های به دست آمده ۲۲ و ۶ متر (به ترتیب تراخ رسوب‌گذاری ۰/۲۲ و ۰/۰۶) می‌باشد. مقایسه بخش HST سکانس یک در هر دو چاه مقادیر تقریباً مشابهی را نشان می‌دهد اما در چاه ۲۰ چرخه‌های کوتاه تر نیز مشاهده می‌شوند. مقایسه TST سکانس دو در دو چاه مورد مطالعه نیز نشان می‌دهد که در چاه شماره ۲۰ تراخ رسوب‌گذاری افزایش یافته چرا که چرخه‌های به دست آمده نسبت به مشابه خود در چاه ۴۸ طول موج بیشتری



شکل ۸. A- آنالیز طیفی MESA از لایه گامای سازند سروک در چاه شماره ۲۰ میدان کویال. B- میانگین دامنه طیفی مربوط به عمق ۴۶۰۰ متری. C- میانگین دامنه طیفی مربوط به عمق ۴۳۷۰ متری



شکل ۹. A-تطابق INPEFA و MESA در سازند سروک در چاه شماره ۴۸ میدان نفتی کوپال - B-تطابق INPEFA و MESA در سازند سروک در چاه شماره ۲۰ میدان نفتی کوپال

در مطالعات چینه‌نگاری سکانسی با توجه به مطالعات میکروسکوپی، تغییرات لایه گاما و تغییرات مشاهده شده در PEFA_SGR و D-INPEFA-SGR دو سکانس رسوبی درجه سوم در چاه‌های مورد مطالعه شناسایی شد. مرز سکانس ۱ و ۲ به صورت ۲- SB و مرز سکانس ۲ با سازند ایلام به صورت ۱- SB است. به علاوه تطابق تغییرات INPEFA و MESA نیز تأیید کننده سطوح خاص موجود در این سازند مثل ۲- SB و MFS موجود در سکانس‌ها است. به طوری که در قسمتی از MESA که معادل ۲- SB است دامنه‌های طیفی قطع شده‌اند و یک ناپیوستگی را نشان می‌دهد و در قسمت‌هایی که معادل MFS است و یا قسمت‌هایی که پیک لایه گاما مقدار بیشتری را نشان می‌دهد، طول موج MESA نیز افزایش می‌یابد.

نتیجه‌گیری
در این مطالعه به منظور بررسی چینه‌نگاری سکانسی و تعیین سیکل‌های میلانکوویچ از مطالعه مغذه‌ها و آنالیز طیفی استفاده شد. مطالعات پتروگرافی منجر به شناسایی ۹ میکروفاصلیس مادستون تا وکستون الیگوستئین‌دار، وکستون دارای فرامینی‌فرهای بنتیک و پلازویک، پکستون-رودستون رویدیستی دارای فرامینی‌فرهای بنتیک، گرینستون اینتراکلستی بیوکلاستی، گرینستون پلوئیدی دارای فرامینی‌فرهای بنتیک، وکستون پلوئیدی تا وکستون پلوئیدی با تنواع کم فرامینی‌فرهای بنتیک، پکستون پلوئیدی دارای فرامینی‌فرهای بنتیک متعدد و وکستون تا پکستون بیوکلاستی شد که در سه کمریند رخساره‌ای لاغون، پشته کریناته و دریای باز گسترش دارند.

- [3] Abdel-Gawad. G.I., Saber. S.G., El Shazly S.H., Salama. Y.F (2011) Turonian Rudist Facies from Abu Roash area, North Western Desert, Egypt, Journal of African Earth Sciences, Vol:59, p: 359 – 372.
- [4] Adabi. M.H., Salehi. M.A., Ghabeishavi. A (2010) depositional environment, sequences stratigraphy and geochemistry of Lower Cretaceous carbonates (Fahliyan Formation), south-west Iran, Journal of Asian Earth Sciences, Vol: 39, p: 148-160.
- [5] Berger.A.,Loutre.M.F (1994) Astronomical forcing through geological time, In: de Boer P.L. & Smith D.G. (eds.), Orbital forcing and cyclic sequences, IAS Special Publication, Oxford, Vol:19, p:15-24
- [6] Carter. J (2002) The key to the future: the study of earth history, Published by Routledge,133p.
- [7] De Jong. M., Smith. D., DjinNio. S., Hardy. N (2006) Subsurface correlation of the Triassic of the UK southern central graben: new look at an old problem, Vol:24, p:103–109.
- [8] Dunham. R.J (1962) Classification of carbonate rocks according to depositional texture, in W.E. Ham, ed., Classification of carbonate rocks, American Association of Petroleum Geologist Memoir 1, p: 108-121.
- [9] Embry. A. F., Klovan. J. E (1971) A Late Devonian reef tract on northeastern Banks Island, Northwest territories: Bulletin of Canadian Petroleum Geology, Vol:19, p:730 – 781.
- [10] Flugel. E (2010) Microfacies of carbonate rocks-analysis, interpretation and application, Springer, Berlin, 967 p.
- [11] Ji-feng. YU.,Feng-gui. SUI., Zeng. LI., Hua. LIU., Wang. Yu-lin (2008) Recognition of Milankovitch cycles in the stratigraphic record: application of the CWT and the FFT to well-log data, J China Univ Mining and Technol, Vol:18, p:594-598.
- [12] Kalvoda. J., O., Babek. F. X., Devuyast. G. S., Sevastopol. G (2011) Biostratigraphy, sequence stratigraphy and gamma-ray spectrometry of the Tournaisian-Visean boundary interval in the Dublin Basin, Bulletin of Geosciences, Vol:86, p:683-706.
- [13] Khalili. M (1974) The biostratigraphic synthesis of the Bangestan Group in southward Iran, Report 1219 , Tehran, Iranian Oil Operating Companies.
- [14] Laurin. J., Cech. S., Ulicny. D., Staffen. Z., Svobodová. M (2014) Astrochronology of the Late Turonian: implications for the behavior of the carbon cycle at the demise of peak greenhouse, Earth Planet, Sci. Lett. 394, p:254– 269.
- [15] Molen, A (2004) Sedimentary development, seismic stratigraphy and burial compaction of the Chalk Group in the Netherlands North Sea area, PhD dissertation, university of Utrecht, 180 p.
- [16] Nio. S.D., Brouwer. J., Smith. D., Jong. M., Böhm. A (2005) Spectral trend attribute analysis: applications in the stratigraphic analysis of

به طور کلی برای تغییرات آتالیز طیفی و طول موج سیکل‌های ثبت شده دلایل مختلفی مثل افزایش یا کاهش سطح آب دریا و فضای رسوب‌گذاری وجود دارد که می‌تواند در ارتباط با چرخه‌های آشفتگی مدار زمین یا سیکل‌های میلانکوویچ باشد. برای تعیین سیکل‌های میلانکوویچ از دو روش تمودار پرتو گاما و آتالیز طیفی استفاده شد. بر این اساس، چرخه‌های (100 ka) short eccentricity، (413ka) long eccentricity precession (19 – 22ka). obliquity(39ka)، هر دو روش نشان داده شد که سیکل میلانکوویچ غالباً در زمان تشکیل این رسوبات دوره ۱۰۰ هزار ساله short eccentricity بوده است. در روش اول میانگین نزد رسوب‌گذاری بدون در نظر گرفتن فشردگی ۶۱ و در روش دوم ۶-۱۰ ساعتی‌متر در هر هزار سال به دست آمد. با مقایسه پخش‌های TST و HST سکانس‌ها در چاه‌های مورد مطالعه مشخص شد که نزد رسوب‌گذاری و در نتیجه فضای رسوب‌گذاری از چاه ۴۸ به سمت چاه ۲۰ رو به افزایش است چرا که پخش TST هر دو سکانس در چاه ۲۰ ضخامت پیش‌تری دارد و طول موج‌های غالباً به دست آمده توسط ترم‌افزار نیز مقادیر بیش‌تری نشان می‌دهند. به علاوه میکروفاصلهای الیگوستوئین دار در این چاه فراوانی بیش‌تری داشتند. با توجه به پیک‌های لاغ گاما و تعداد سیکل‌های 100 ka شناسایی شده در روش اول و میانگین نزد تجمع خالص رسوب در اعماق مختلف سن به دست آمده برای این قسمت از سازند سروک که مورد حفاری قرار گرفته حدود ۱۱ تا ۱۲ میلیون سال می‌شود. البته برای اطمینان بهتر است مطالعات بیواستراتیگرافی نیز به طور دقیق صورت یگیرد و از چند چاه در فواصل تزدیک استفاده شود.

قدرتانی

نویسنده‌گان مقاله مراتب سپاس خود را از شرکت ملی مناطق نفت خیز جنوب جهت همکاری و در اختیار قراردادن پرش‌های تازک میکروسکوپی و داده‌های مورد نیاز ایراز می‌دارند.

منابع

- [۱] حقی، ع (۱۳۶۶) مطالعه زمین‌شناسی مخزن بنگستان، میدان کوپال، گزارش شماره ۴۰۵۶، ۵۱ ص.
- [۲] قلاؤند، ه (۱۳۸۱) مطالعه تکمیلی زمین‌شناسی مخزن بنگستان میدان کوپال، گزارش شماره ۵۲۵۴، ۲۱ ص.

پیوست ۱: علائم اختصاری

GR	Gamma ray
NBS	Negative bounding surface
PBS	Positive bounding surface
SB 1	Sequence boundary type 1
SB 2	Sequence boundary type 2
PEFA	Prediction error filter analysis
INPEFA	Integrated prediction error filter analysis
HST	Highstand systems tract
TST	Transgressive systems tract
MFS	Maximum flooding surface
Lec	Long eccentricity
Sec	Short eccentricity
MESA	Maximum entropy spectral analysis
w	Wavelength

- wireline logs., Petroleum geology special topic, Vol: 23, p:71-75.
- [17] Nio. S.D (2010) Cyclog user guide, Enres International Company, 334 p.
 - [18] Prokoph. A., Villeneuve. M., Agterberg. F.P., Rachold. V (2001) Geochronology and calibration of global Milankovitchcyclicity at the Cenomanian-Turonian boundary, Geology, Vol:29, p:523-526.
 - [19] Prokoph. A., Thurow. J (2000) Diachronous pattern of Milankovitchcyclicity in late Albian pelagic marlstones of the North German Basin, Sedimentary Geology, Vol:134, p:287-303.
 - [20] Skelton. P. W., Spicer. R. B., Kelley. S. P., Gilmour. L (2003) the Cretaceous world, Cambridge University Press, 360 p.
 - [21] Serra. O (1984) fundamentals of well-log interpretation-the acquisition of logging data, Elsevier, 435 p.
 - [22] Storz. D., Gischler. E., Parker. J., Klostermann. L (2014) Changes in diversity and assemblages of foraminifera through the Holocene in an atoll from the Maldives, Indian Ocean, Marine Micropaleontology, Vol:106, p:40-54.
 - [23] Tagliaferri. R., Pelosi. N., Ciaramella. A., Longo. G., Milani. M., Barone. F (2001) soft computing methodologies for spectral analysis in cyclostratigraphy, Computer and Geosciences, Vol:27, p: 535-548.
 - [24] Vilela. C.G., Batista. D.S., Baptista Neto. J.A., Ghiselli. R.O (2011) Benthic foraminifera distribution in a tourist lagoon in Rio de Janeiro, Brazil: A response to anthropogenic impacts, Marine Pollution Bulletin, Vol:62, p:2055-2074.
 - [25] Weedon. G. P., Coe. A. L., Gallois. R. W (2004) Cyclostratigraphy, orbital tuning and inferred productivity for the type Kimmeridge Clay (Late Jurassic), southern England, Journal of the Geological Society, London, Vol:161, p: 655-666.
 - [26] Westphal. H (2006) Limestone-marl alternations as environmental archives and the role of early diagenesis: a critical review, International Journal Earth Science, Vol:95, p: 947-961.
 - [27] Yilmaz. I. O., Altiner. D., Tekin. U. K., Tusuze. O., Ocakoglu. F., Acikalian. S (2010) Cenomanian – Turonian oceanic anoxic event (OAE2) in the Sakarya zone, northwestern Turkey: sedimentological, cyclostratigraphic, and geochemical records, Cretaceous Research, Vol:31, p:207-226.
 - [28] Zachos. J., Pagani. M., Sloan. L., Thomas. E., Katharina. B (2001) Trends, rhythms and aberration in global climate 65 Ma to present, Science, Vol:292, p:686-693.